

© К.Ю. БАСИНСКИЙ

kbasinsky@mail.ru

УДК 532.591:532.133

## НЕЛИНЕЙНЫЕ КАПИЛЛЯРНО-ГРАВИТАЦИОННЫЕ ВОЛНЫ НА СВОБОДНОЙ ПОВЕРХНОСТИ СЛАБОВЯЗКОЙ ЖИДКОСТИ

**АННОТАЦИЯ.** Приводится постановка нелинейной краевой задачи о распространении капиллярно-гравитационных волн по свободной поверхности слабовязкой жидкости. Решение задачи находится методом переменной во времени частоты, являющимся обобщением метода Стокса для диссипативных волновых процессов. Найдено асимптотическое решение с точностью третьего приближения по волновому параметру.

**SUMMARY.** The article states the nonlinear boundary value problem of propagation of capillary-gravity waves on the free surface of low viscous fluids. The solution is found by the method of time-varying frequency, which is a generalization of Stokes' method for dissipative wave processes. The asymptotic solution up the third approximation to the wave parameter has been found.

**КЛЮЧЕВЫЕ СЛОВА.** Поверхностные волны, вязкость, частота, декремент затухания, поверхностное натяжение.

**KEY WORDS.** Superficial waves, viscosity, frequency, decrement of attenuation, surface tension.

Рассматривается распространение капиллярно-гравитационной волны длиной  $\lambda$  в направлении оси  $x^*$  по свободной поверхности  $z^* = \xi^*(t^*, x^*)$  бесконечно глубокого слоя вязкой несжимаемой жидкости. Ось  $z^*$  противоположно направлена вектору силы тяжести  $\mathbf{g}$ , плоскость  $z^* = 0$  совпадает с невозмущенной свободной поверхностью. Волновое движение жидкости происходит в плоскости  $x^*z^*$  со скоростью  $\mathbf{u}^* = (u^*(t^*, x^*, z^*), 0, v^*(t^*, x^*, z^*))$ . Звездочкой там, где это необходимо обозначены физические (размерные) величины.

В работе [1] показано, что в случае пологих волн  $x^*$ -ой компонентой нормальной проекции тензора скачка напряжения можно пренебречь по сравнению с  $z^*$ -ой компонентой. Кроме того, если отношение вязкой частоты к частоте в идеальной жидкости не превышает 0.4, то решение задачи можно искать в виде затухающих потенциальных волн. Эти ограничения определяют модель волнового движения слабовязкой жидкости. Чтобы решать соответствующую нелинейную краевую задачу первым методом Стокса [2], частоту волны полагаем неизвестной функцией времени. В работе [3] эта задача решена для гравитационных волн. В данной работе рассматриваются капиллярно-гравитационные волны, т.е. распространение волн с учетом силы поверхностного натяжения.

Нелинейная краевая задача о волновом движении слабовязкой жидкости в безразмерном виде запишется

$$\operatorname{div} \mathbf{u} = 0, \quad \frac{\alpha^2}{\alpha - t\alpha'} \frac{\partial \mathbf{u}}{\partial t} - \nu_0 \Delta \mathbf{u} + \nabla p = -\varepsilon (\mathbf{u} \nabla) \mathbf{u} \quad (1)$$



$$v - \frac{\alpha^2}{\alpha - t\alpha'} \frac{\partial \xi}{\partial t} = \varepsilon u \frac{\partial \xi}{\partial x}, \quad z = \varepsilon \xi, \quad (2)$$

$$p - \gamma_0^2 \xi + \kappa_0^2 \frac{\partial^2 \xi}{\partial x^2} \left[ 1 + \varepsilon^2 \left( \frac{\partial \xi}{\partial x} \right)^2 \right]^{-3/2} - 2\nu_0 \frac{\partial v}{\partial z} = -\varepsilon \nu_0 \left( \frac{\partial u}{\partial z} + \frac{\partial v}{\partial x} \right) \frac{\partial \xi}{\partial x}, \quad z = \varepsilon \xi, \quad (3)$$

$$u \rightarrow 0, \quad z \rightarrow -\infty$$

Здесь  $\alpha = c/c_0 = \omega/\omega_0$ ,  $\alpha' = d\alpha/dt$ ,  $c = c(t)$ ,  $\omega = \omega(t)$  — истинная фазовая скорость и частота волны соответственно,  $\omega_0$ ,  $c_0$  — частота и фазовая скорость волны линейной задачи для идеальной жидкости.

Безразмерные и физические величины связаны равенствами:

$$u^* = \varepsilon c_0 u, \quad p^* = \varepsilon \rho c_0^2 p, \quad p^* = P - P_a + \rho g z, \quad \xi^* = \varepsilon \xi / k$$

$$\nu_0 = \nu^* k / c_0, \quad t = k c t^*, \quad x = k x^*, \quad z = k z^*, \quad k = 2\pi/\lambda, \quad c_0^2 = c_g^2 + c_\sigma^2$$

$$c_g^2 = g/k, \quad c_\sigma^2 = \sigma k / \rho, \quad \gamma_0^2 = c_g^2 / c_0^2, \quad \kappa_0^2 = c_\sigma^2 / c_0^2, \quad \gamma_0^2 + \kappa_0^2 = 1$$

где  $\rho$  — плотность,  $P$  — давление,  $P_a$  — атмосферное давление,  $\xi^*$  — форма свободной поверхности,  $\nu^*$  — коэффициент кинематической вязкости,  $\lambda$  — длина волны,  $\sigma$  — коэффициент поверхностного натяжения.

В силу малости волнового параметра  $\varepsilon$  условия (2), (3) разложением в ряд Маклорена входящих в них функций можно свести к условиям на фиксированной поверхности  $z=0$ .

Скорость волнового движения будем искать в виде затухающих прогрессивных волн

$$\mathbf{u} = \sum_{n=1}^{\infty} \varepsilon^{n-1} e^{-n\beta t/\alpha} \mathbf{u}_n, \quad \mathbf{u}_n = (u_n, 0, v_n), \quad v_n = e^{nz} \{A_n \cos n\bar{x} + B_n \sin n\bar{x}\},$$

$$u_n = e^{nz} \{B_n \cos n\bar{x} - A_n \sin n\bar{x}\}, \quad \bar{x} = x - t.$$

Здесь  $\beta(t)$  — безразмерный декремент затухания ( $\beta^* = \beta k c_0$  — размерный).

Остальные неизвестные функции будем также искать в виде рядов по малому параметру  $\varepsilon$ :

$$p = \sum_{n=1}^{\infty} \varepsilon^{n-1} e^{-n\beta t/\alpha} p_n, \quad \xi = \sum_{n=1}^{\infty} \varepsilon^{n-1} e^{-n\beta t/\alpha} \xi_n,$$

$$\alpha = \alpha_0 \left( 1 + \sum_{n=1}^{\infty} \varepsilon^n a_n(t) \right), \quad \beta = \beta_0 \left( 1 + \sum_{n=1}^{\infty} \varepsilon^n b_n(t) \right),$$

$$e^{-\beta t/\alpha} = e^{-\beta_0 t/\alpha_0} \left[ 1 + \varepsilon \frac{\beta_0 t}{\alpha_0} (a_1 - b_1) + \varepsilon^2 \frac{\beta_0 t}{\alpha_0} \left( a_2 - b_2 + a_1 b_1 - a_1^2 + \frac{\beta_0 t}{2\alpha_0} (b_1 - a_1)^2 \right) + \dots \right],$$

где  $\alpha_0$ ,  $\beta_0$  — безразмерные частота и декремент затухания, соответствующие линейной задаче.

Подставив в уравнения (1) и разложенные в окрестности  $z=0$  граничные условия (2), (3) вместо  $u$ ,  $p$ ,  $\xi$ ,  $\alpha$ ,  $\beta$  ряды и приравняв коэффициенты при одинаковых степенях малого параметра, получаем задачи соответствующих приближений. В первом (линейном) приближении задача имеет вид: при  $\varepsilon^0$



$$\operatorname{div} \mathbf{u}_1 = 0, \quad \alpha_0 \frac{\partial \mathbf{u}_1}{\partial t} - \beta_0 \mathbf{u}_1 - \nu_0 \Delta \mathbf{u}_1 + \nabla p_1 = 0, \quad (4)$$

$$v_1 = \alpha_0 \frac{\partial \xi_1}{\partial t} - \beta_0 \xi_1, \quad p_1 - \gamma_0^2 \xi_1 + \kappa_0^2 \frac{\partial^2 \xi_1}{\partial x^2} - 2\nu_0 \frac{\partial v_1}{\partial z} = 0, \quad z = 0;$$

для второго приближения: при  $\varepsilon^1$

$$\operatorname{div} \mathbf{u}_2 = 0, \quad \alpha_0 \frac{\partial \mathbf{u}_2}{\partial t} - 2\beta_0 \mathbf{u}_2 - \nu_0 \Delta \mathbf{u}_2 + \nabla p_2 = -(\mathbf{u}_1 \nabla) \mathbf{u}_1 +$$

$$+ e^{\beta_0 t / \alpha_0} \left[ \beta_0 \mathbf{u}_1 (tb_1)' - \alpha_0 \frac{\partial \mathbf{u}_1}{\partial t} (ta_1)' \right],$$

$$v_2 = \alpha_0 \frac{\partial \xi_2}{\partial t} - 2\beta_0 \xi_2 + \frac{\partial}{\partial x} (\mathbf{u}_1 \xi_1) + e^{\frac{\beta_0 t}{\alpha_0}} \left[ \alpha_0 (ta_1)' \frac{\partial \xi_1}{\partial t} - \beta_0 \xi_1 (tb_1)' \right], \quad z = 0,$$

$$p_2 - \gamma_0^2 \xi_2 + \kappa_0^2 \frac{\partial^2 \xi_2}{\partial x^2} - 2\nu_0 \frac{\partial v_2}{\partial z} = \xi_1 \frac{\partial}{\partial z} \left( 2\nu_0 \frac{\partial v_1}{\partial z} - p_1 \right) - \nu_0 \left( \frac{\partial \mathbf{u}_1}{\partial z} + \frac{\partial v_1}{\partial x} \right) \frac{\partial \xi_1}{\partial x}, \quad z = 0;$$

для третьего приближения: при  $\varepsilon^2$

$$\operatorname{div} \mathbf{u}_3 = 0, \quad \alpha_0 \frac{\partial \mathbf{u}_3}{\partial t} - 3\beta_0 \mathbf{u}_3 - \nu_0 \Delta \mathbf{u}_3 = -\nabla p_3 - [(\mathbf{u}_2 \nabla) \mathbf{u}_1 + (\mathbf{u}_1 \nabla) \mathbf{u}_2] +$$

$$+ e^{\frac{2\beta_0 t}{\alpha_0}} \left\{ -\frac{\partial \mathbf{u}_1}{\partial t} \left[ \alpha_0 (ta_2)' + \beta_0 (ta_1)' (tb_1 - ta_1) + \alpha_0 t^2 (a_1')^2 \right] + \beta_0 \mathbf{u}_1 \left[ (tb_2)' + \right.$$

$$\left. + \frac{\beta_0}{\alpha_0} (tb_1)' (tb_1 - ta_1) + t^2 a_1' b_1' \right\} + e^{\frac{\beta_0 t}{\alpha_0}} \left[ 2\beta_0 \mathbf{u}_2 (tb_1)' - \alpha_0 \frac{\partial \mathbf{u}_2}{\partial t} (ta_1)' \right],$$

$$v_3 = \alpha_0 \frac{\partial \xi_3}{\partial t} - 3\beta_0 \xi_3 + \frac{\partial}{\partial x} \left[ \mathbf{u}_1 \xi_2 + \mathbf{u}_2 \xi_1 + \frac{1}{2} \frac{\partial \mathbf{u}_1}{\partial z} \xi_1^2 \right] + e^{\frac{2\beta_0 t}{\alpha_0}} \left\{ \frac{\partial \xi_1}{\partial t} \left[ \alpha_0 (ta_2)' + \right.$$

$$\left. + \alpha_0 (a_1')^2 t^2 + \beta_0 (ta_1)' (tb_1 - ta_1) \right] - \beta_0 \xi_1 \left[ (tb_2)' + \frac{\beta_0}{\alpha_0} (tb_1)' (tb_1 - ta_1) + \right.$$

$$\left. + t^2 a_1' b_1' \right\} + e^{\frac{\beta_0 t}{\alpha_0}} \left\{ \alpha_0 (ta_1)' \frac{\partial \xi_2}{\partial t} - 2\beta_0 \xi_2 (tb_1)' \right\}, \quad z = 0,$$

$$p_3 - \gamma_0^2 \xi_3 + \kappa_0^2 \frac{\partial^2 \xi_3}{\partial x^2} - 2\nu_0 \frac{\partial v_3}{\partial z} = \frac{3}{2} \kappa_0^2 \left( \frac{\partial \xi_1}{\partial x} \right)^2 \frac{\partial^2 \xi_1}{\partial x^2} + \xi_1 \frac{\partial}{\partial z} \left( 2\nu_0 \frac{\partial v_2}{\partial z} - p_2 \right) - \nu_0 \left( \frac{\partial \mathbf{u}_2}{\partial z} + \frac{\partial v_2}{\partial x} \right) \frac{\partial \xi_1}{\partial x} +$$

$$+ \frac{\partial}{\partial z} \left( \xi_2 + \frac{1}{2} \xi_1^2 \frac{\partial}{\partial z} \right) \left( 2\nu_0 \frac{\partial v_1}{\partial z} - p_1 \right) - \nu_0 \left( \frac{\partial \xi_2}{\partial x} + \xi_1 \frac{\partial \xi_1}{\partial x} \frac{\partial}{\partial z} \right) \left( \frac{\partial \mathbf{u}_1}{\partial z} + \frac{\partial v_1}{\partial x} \right), \quad z = 0.$$

Первое приближение (4) совпадает с линейной задачей, рассмотренной в [1], [4]. Ее решение имеет вид:

$$\mathbf{u}_1 = Ae^z (\cos \chi, \sin \chi), \quad p_1 = Ae^z (\alpha_0 \cos \chi + \nu_0 \sin \chi)$$

$$\xi_1 = A_1 (\alpha_0 \cos \chi + \nu_0 \sin \chi), \quad \chi = x - t + \theta, \quad A = \sqrt{A_1^2 + B_1^2},$$



$$\theta = \arctg(A_1/B_1), \alpha_2^0 + v_0^2 = 1, \beta_0 = v_0$$

Здесь  $\theta$  — начальная фаза волны.

Подставляя решения предыдущих приближений в последующие, получаем задачи в явном виде — системы линейных неоднородных уравнений. Разрешая их, получаем выражения для относительной фазовой скорости, декремента затухания, скорости волнового движения, динамического давления и формы свободной поверхности с точностью до третьего приближения. Здесь приведены только выражения для частоты и декремента затухания (дисперсионные соотношения)

$$\begin{aligned} \alpha &= \alpha_0 \left\{ 1 + \varepsilon^2 A^2 \alpha_0 \frac{1 - e^{-2v_0 t/\alpha}}{864\gamma_0^6 v_0 t} \left[ 32 - 72\gamma_0^2 + 108\gamma_0^4 + 27\gamma_0^6 + \right. \right. \\ &+ 81\gamma_0^8 + 12\gamma_0^2 v_0^2 (27\gamma_0^6 + 9\gamma_0^4 - 12\gamma_0^2 - 16) + 288\gamma_0^4 v_0^4 (3\gamma_0^2 + 4) + \\ &\left. \left. + 8(3\gamma_0^2 - 2)(4 - 3\gamma_0^2)(9\gamma_0^4 - 6\gamma_0^2 + 2) \left( (3\gamma_0^2 - 2)^2 + 24\gamma_0^2 v_0^2 \right)^{-1} \right] \right\}, \\ \beta &= v_0 \left\{ 1 + \alpha_0 A^2 \frac{1 - e^{-2v_0 t/\alpha}}{864\gamma_0^6 v_0 t} \left[ 81\gamma_0^8 + 135\gamma_0^6 - 36\gamma_0^4 - 24\gamma_0^2 - \right. \right. \\ &- 32 + 12\gamma_0^2 v_0^2 (1 + 3\gamma_0^2)(16 + 12\gamma_0^2 - 9\gamma_0^4) - 288\gamma_0^4 v_0^4 (3\gamma_0^2 + 4) + \\ &\left. \left. + 8(4 - 3\gamma_0^2)(3\gamma_0^2 + 2)(9\gamma_0^4 - 6\gamma_0^2 + 2) \left( (3\gamma_0^2 - 2)^2 + 24\gamma_0^2 v_0^2 \right)^{-1} \right] \right\}. \end{aligned} \quad (5)$$

Из найденных выражений для относительной частоты и декремента затухания волны следует, что свое максимальное конечное значение они принимают в начальный момент и с течением времени стремятся к значениям, соответствующим линейной задаче. Если коэффициент поверхностного натяжения  $\sigma$  положить равным нулю ( $\kappa_0^2 = 0, \gamma_0^2 = 1$ ), то выражения (5) переходят в выражения, полученные в работе [3].

Графики зависимости фазовой скорости и декремента затухания волны длины 1 м и относительной высоты 0.1 ( $\varepsilon = 0.1$ ), распространяющейся по поверхности воды ( $v_0 = 5 \cdot 10^{-6}$ ), представлены на рисунках 1 и 2 соответственно. Максимальные значения фазовая скорость и декремент принимают в начальный момент времени. Из графиков видно, что нелинейная фазовая скорость и декремент стремятся к своим линейным значениям. Фазовая скорость волны при  $\sigma = 73 \cdot 10^{-3}$  Н/м имеет большие значения, чем фазовая скорость при  $\sigma = 0$ , и по мере затухания эта разница возрастает. Соответствующие графики для декремента затухания совпадают. Таким образом, капиллярно-гравитационная волна движется быстрее гравитационной, но при этом амплитуды их убывают с одной скоростью.



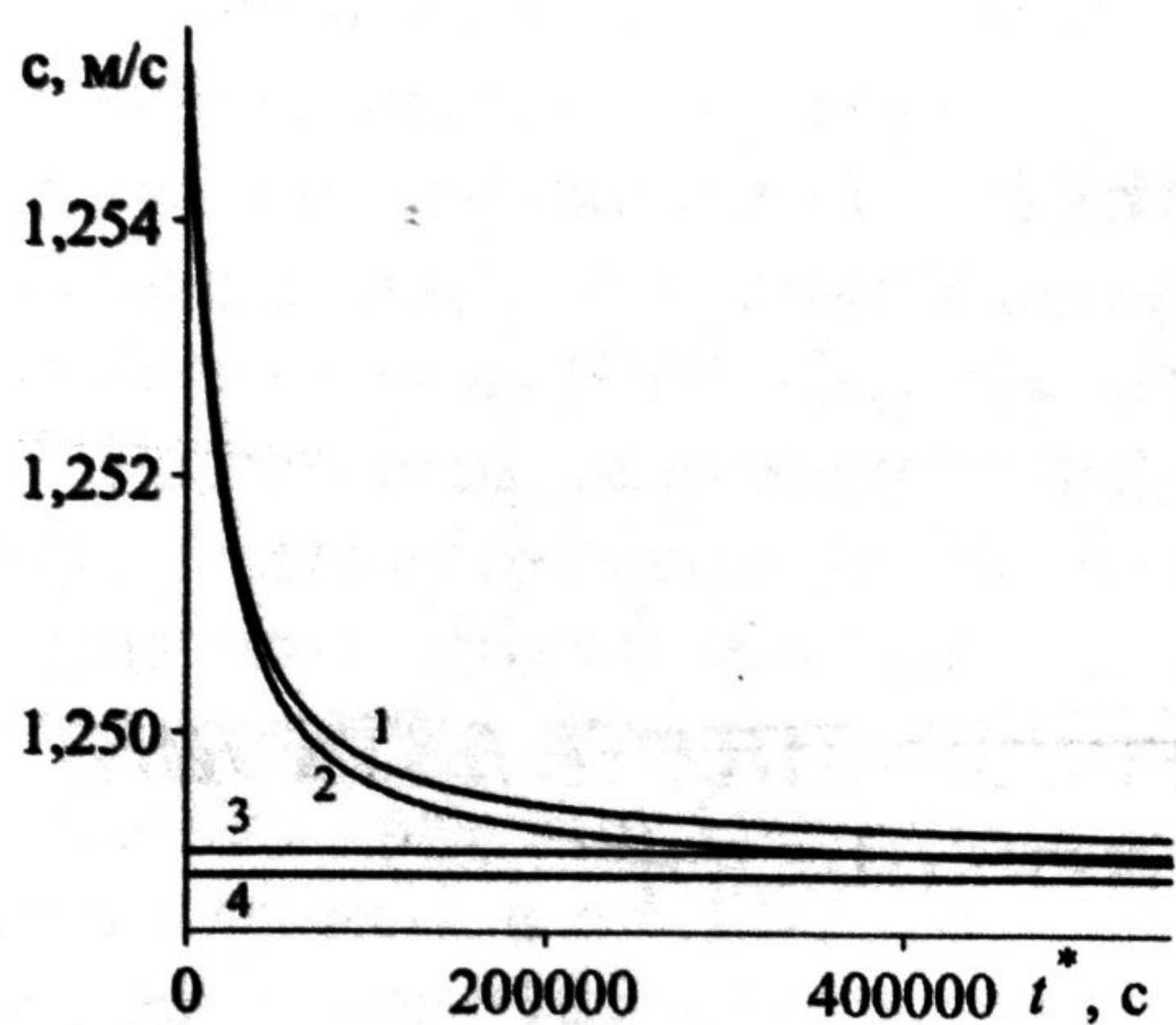


Рис. 1. Зависимость  $c(t^*)$  для воды при  $\lambda=1$  м,  $\varepsilon=0.1$ ,  $A=1$ : линия 1 —  $c(t^*)$  при  $\sigma=73 \cdot 10^{-3}$  Н/м, линия 2 —  $c(t^*)$  при  $\sigma=0$ , линии 3, 4 — фазовые скорости линейной задачи при  $\sigma=73 \cdot 10^{-3}$  Н/м и  $\sigma=0$  соответственно

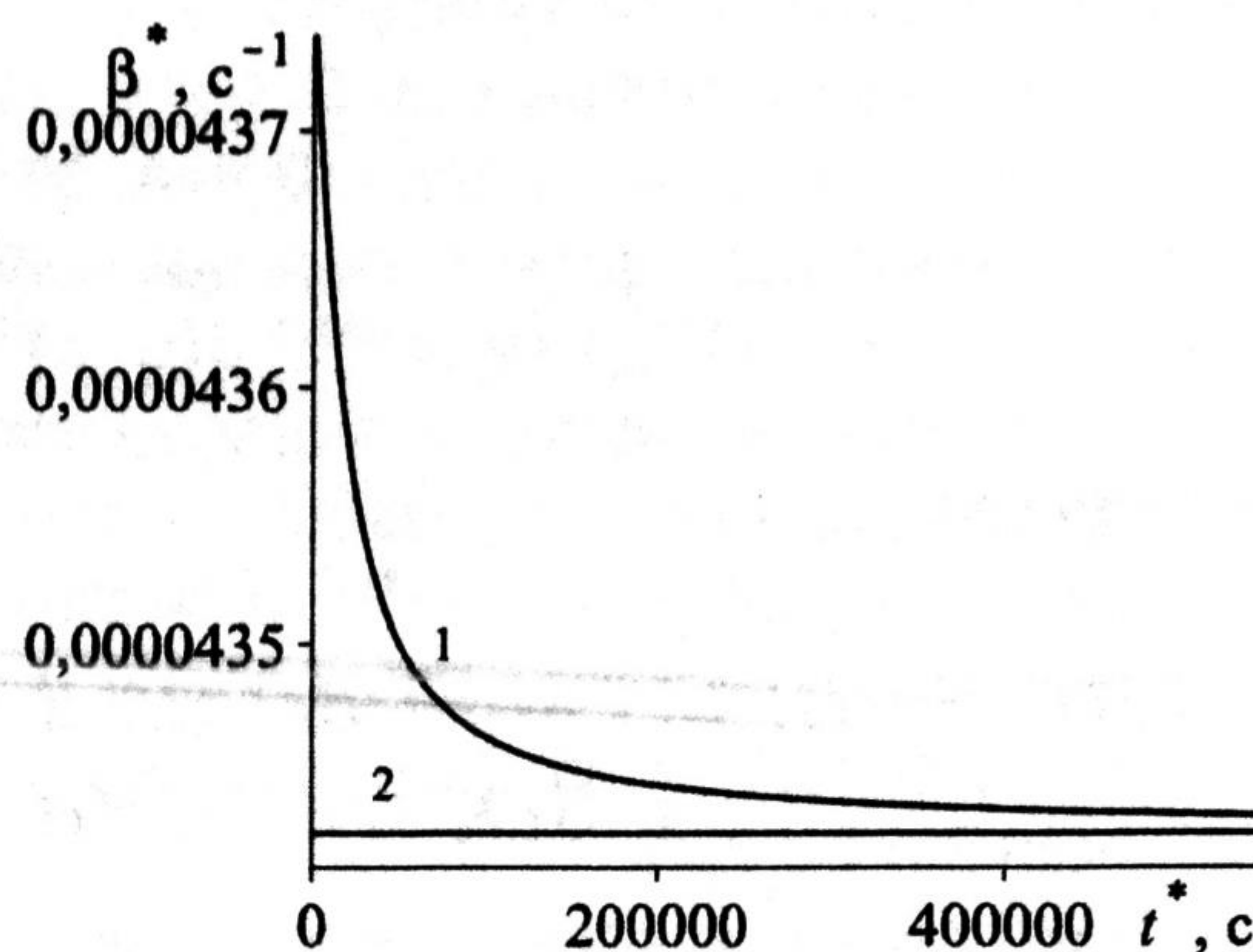


Рис. 2. Зависимость  $\beta^*(t^*)=0$  для воды при  $\lambda=1$  м,  $\varepsilon=0.1$ ,  $A=1$ : линия 1 —  $\beta^*(t^*)$  при  $\sigma=73 \cdot 10^{-3}$  Н/м, и  $\sigma=0$ , линия 2 — декремент затухания линейной задачи при  $\sigma=73 \cdot 10^{-3}$  Н/м и  $\sigma=0$

### СПИСОК ЛИТЕРАТУРЫ

1. Баринов В.А. Распространение волн по свободной поверхности вязкой жидкости // Вестн. С.-Петерб. ун-та. 2010. Сер.10. Вып. 2. С. 18-31.
2. Сретенский Л.Н. Теория волновых движений жидкости. М.: Наука, 1977. 816 с.
3. Баринов В.А., Басинский К.Ю. Решение нелинейной задачи о волнах на поверхности слабовязкой жидкости // Вестн. С.-Петерб. ун-та. 2011. Сер.10. Вып. 2. С. 82-89.
4. Joseph, D.D., Wang, J. The dissipation approximation and viscous potential flow // J. Fluid Mech. 2004. Vol. 505. P. 365-377.